

Fig. 2

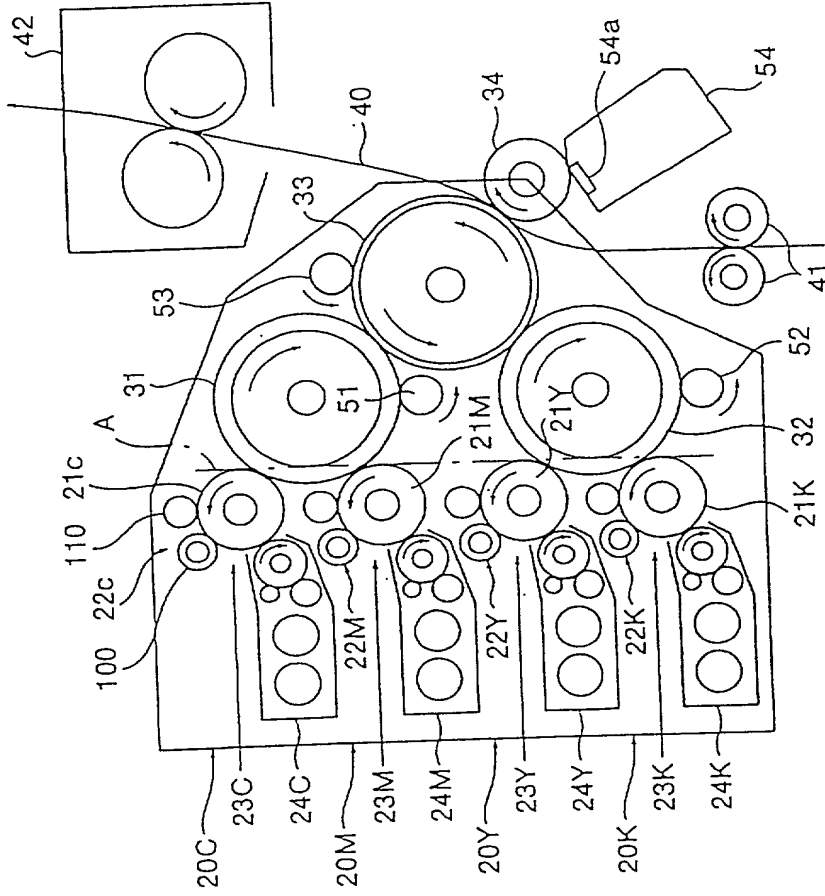


Fig. 3

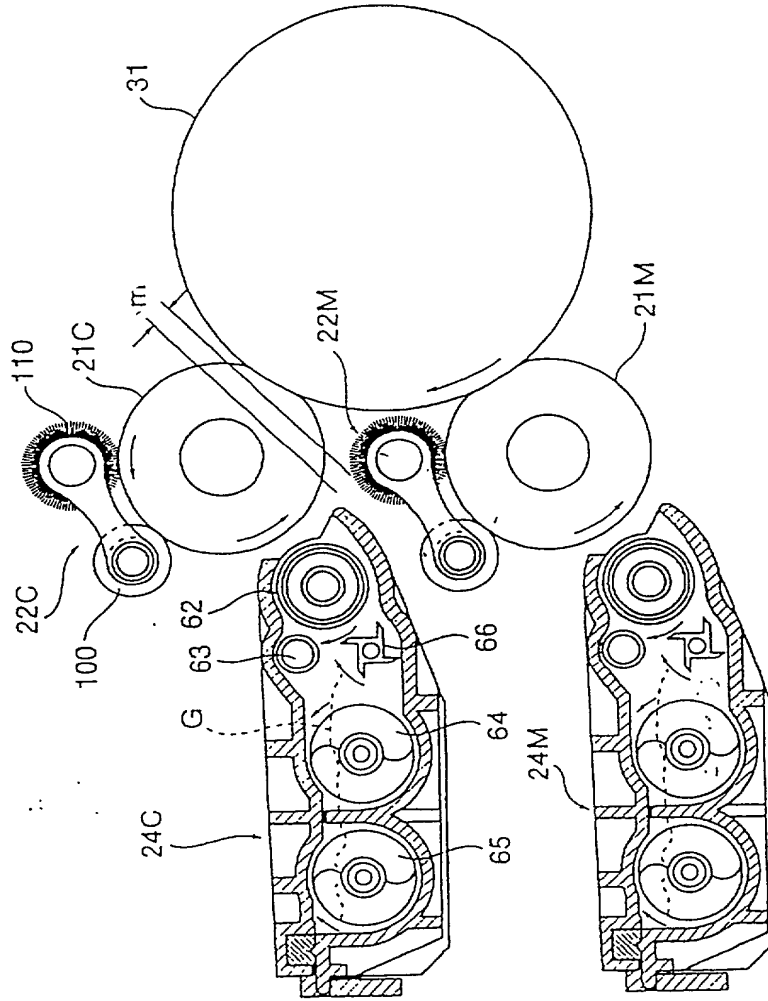
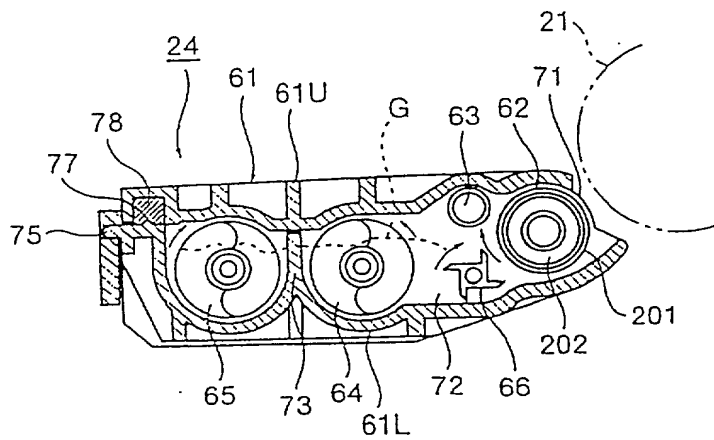


FIG. 4



5/32

FIG. 5

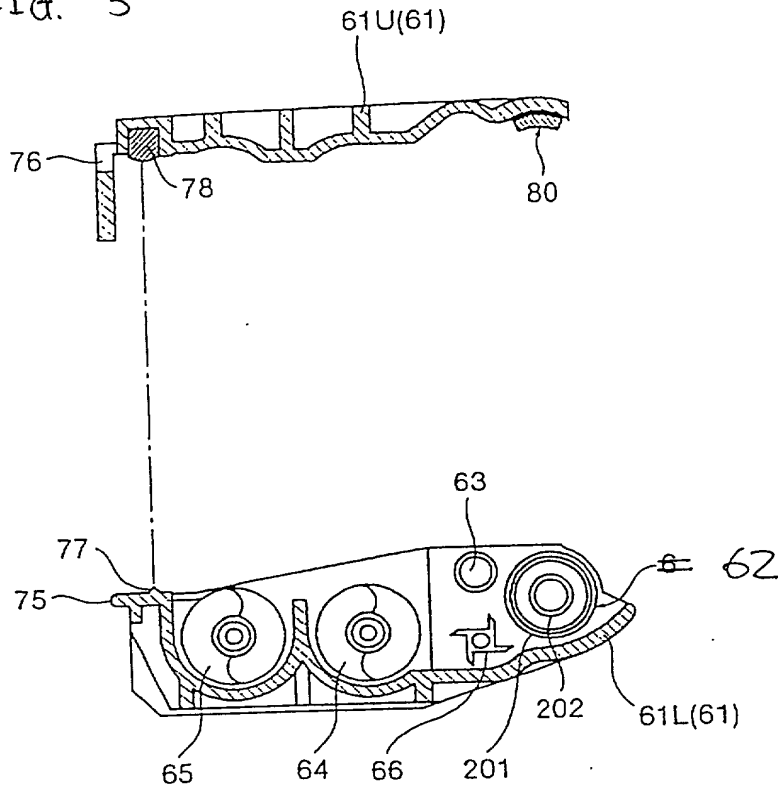


FIG. 6

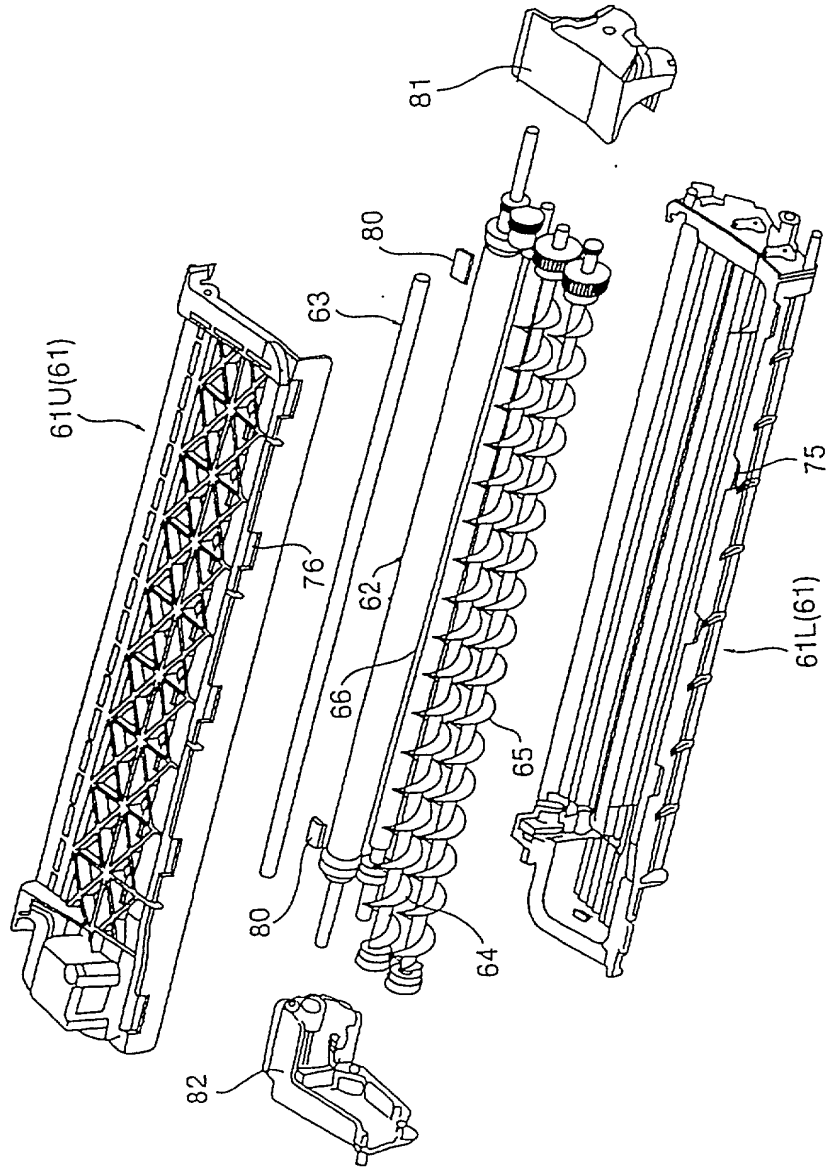
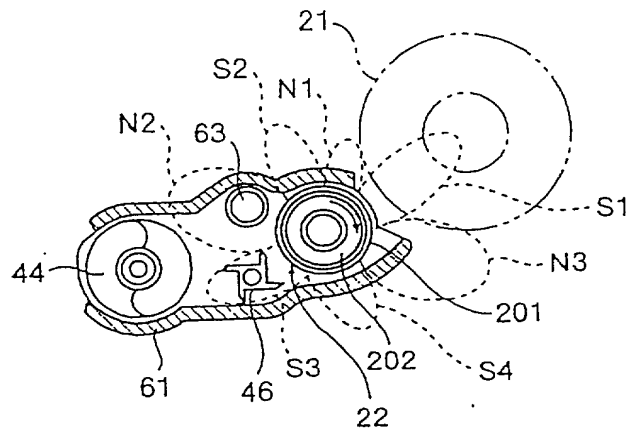


FIG. 7



8/32

FIG. 8(a)

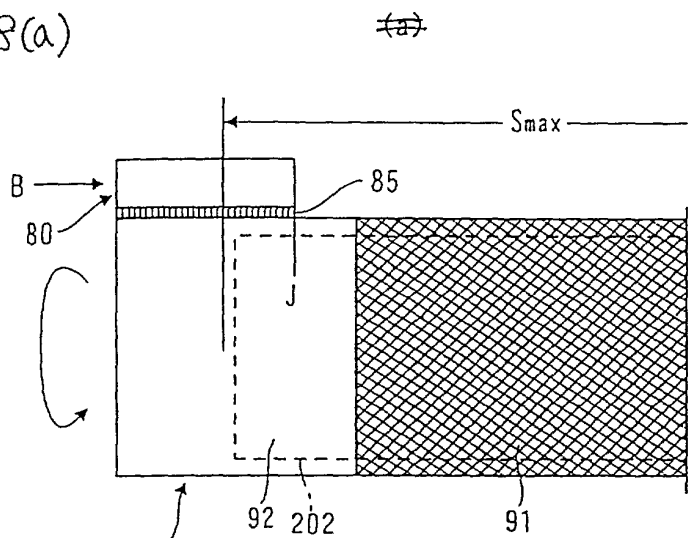
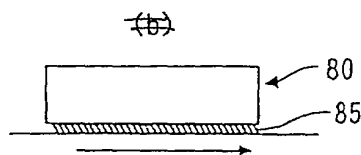


FIG 8(b)



~~FIG. 9(a)~~ FIG. 9(a)

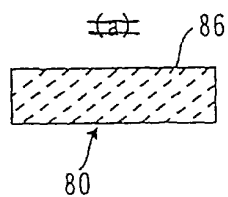


FIG. 9(b)

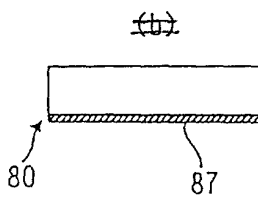
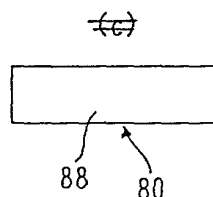


FIG. 9(c)



9/32

FIG. 10(a)

(a) ~~実施の形態モデル~~

model according to first embodiment

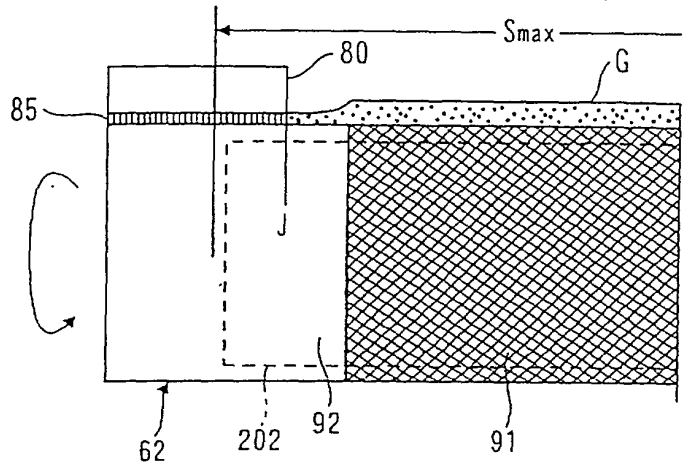
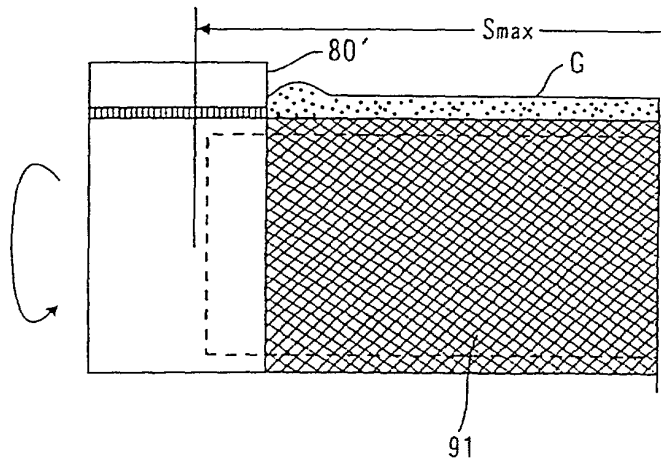


FIG. 10(b)

(b) ~~比較の形態モデル~~

comparative model



10/32

FIG. 11(a)

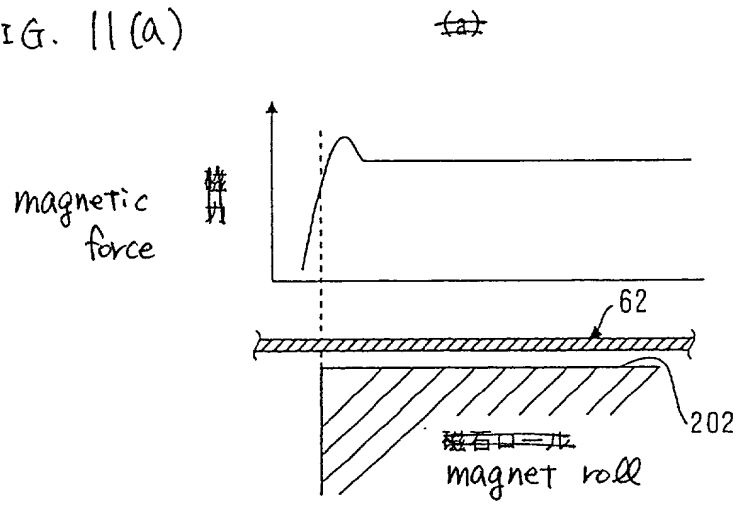
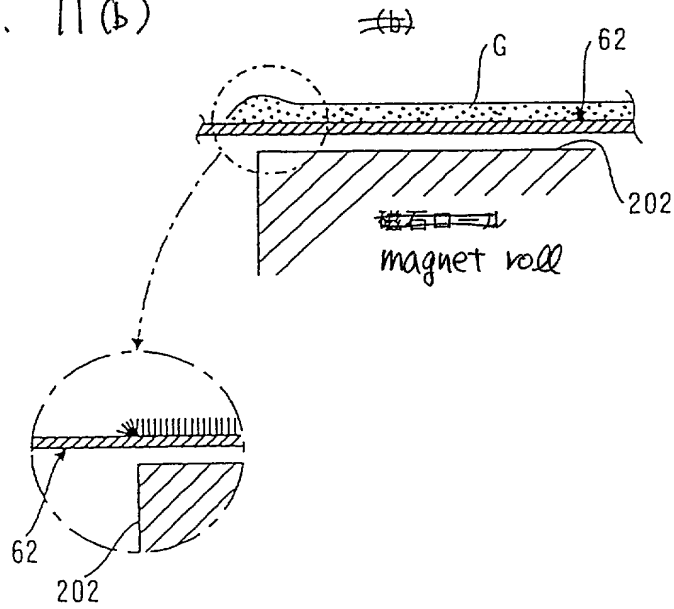


FIG. 11(b)



11/32

FIG. 12 (a)

~~(a)~~

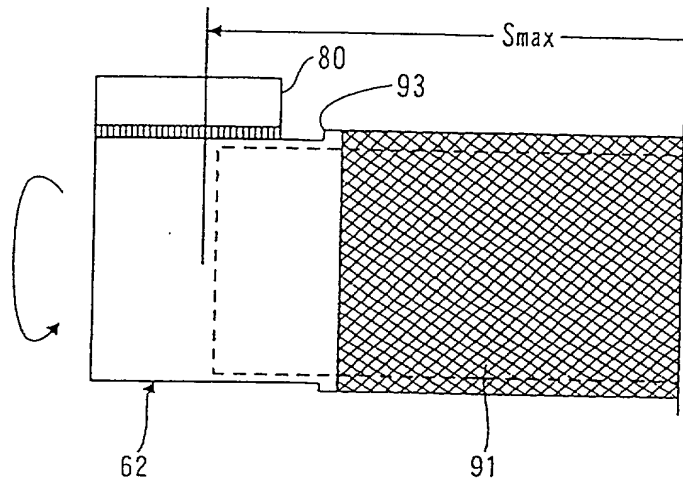


FIG. 12 (b)

~~(b)~~

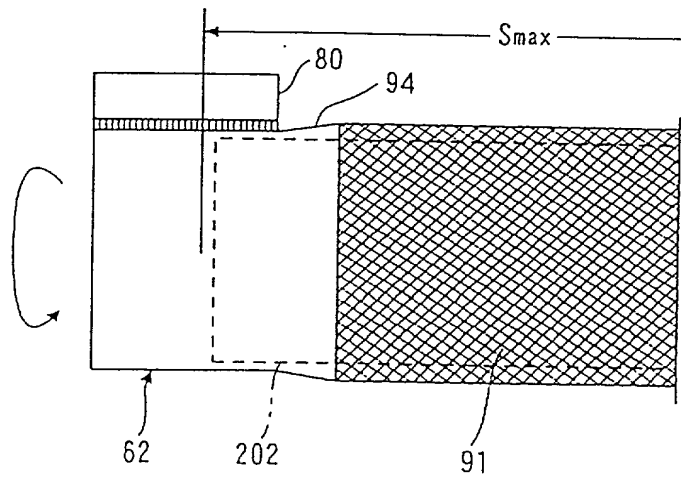


FIG. 13

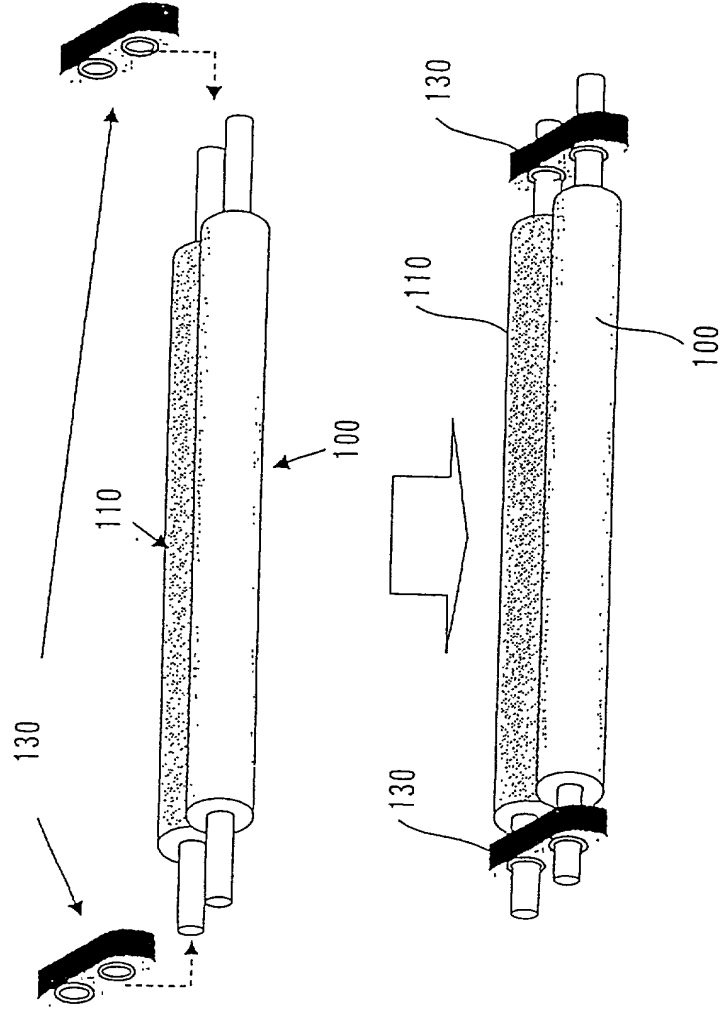


FIG. 14(a)

13/32

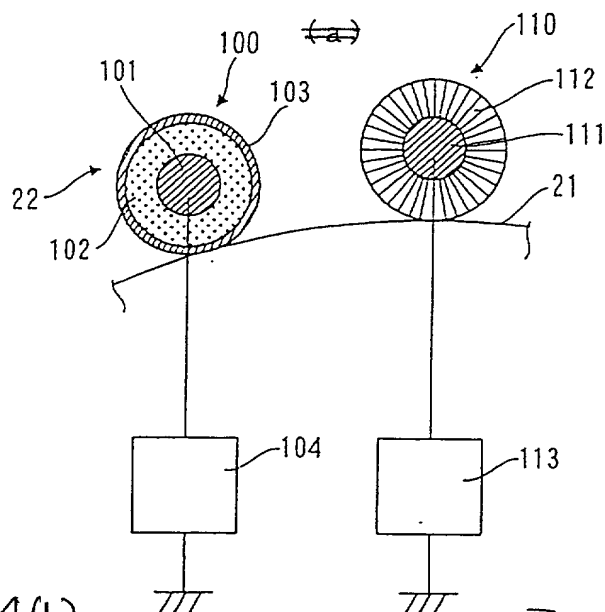


FIG. 14(b)

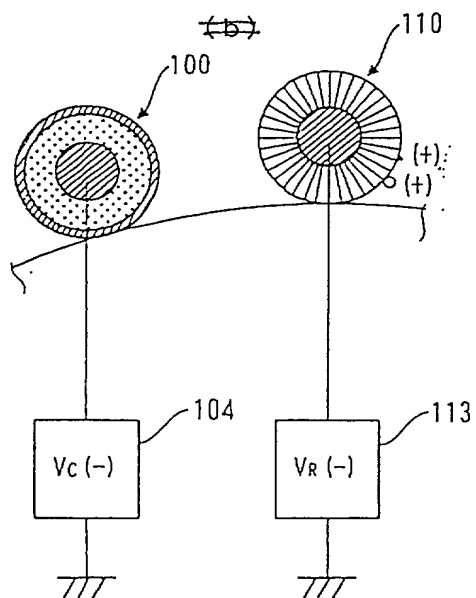


FIG. 14(c)

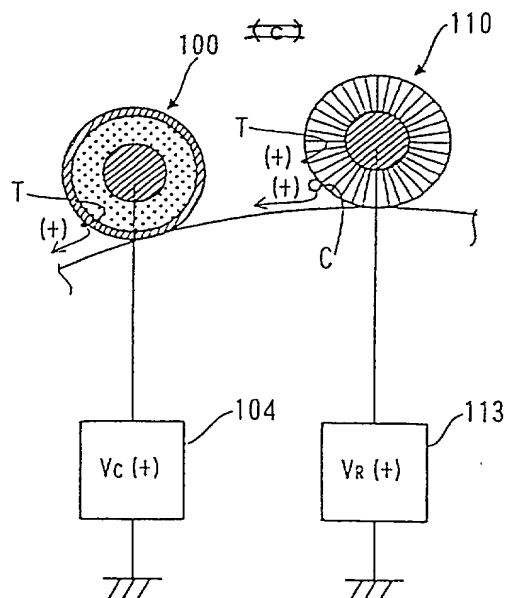


FIG. 15(a)

14/32

end part spot caused by BCO/carrier scatter
●BCO/キャリア飛散による端部斑点

paper end part position

distance between paper end part and blast end part

		用紙 端部位置	用紙端部～ブラスト端部 距離		
			3mm	4mm	5mm
(a)	薄層域規制 位置～ブラスト 端部距離	0mm	x	○	△
	1mm	—	△	○	○
	2mm	—	△	○	○

distance between thin layer area regulation position and blast end part

FIG. 15(b) fogging at upper end part of photoconductor drum
●感光体ドラム上端部カブリ

paper end part position

		用紙 端部位置	用紙端部～ブラスト端部 距離		
			3mm	4mm	5mm
(b)	薄層域規制 位置～ブラスト 端部距離	0mm	x	△	△
	1mm	—	△	○	○
	2mm	—	○	○	○

※ブラスト中シャットダウン、テープ転写

FIG. 15(c) dirty level of driver gear in periphery of developing roll end part
●現像ロール端部周辺駆動ギア汚れレベル

paper end part position

		用紙 端部位置	用紙端部～ブラスト端部 距離		
			3mm	4mm	5mm
(c)	薄層域規制 位置～ブラスト 端部距離	0mm	x	△	○
	1mm	—	○	○	○
	2mm	—	○	○	○

shut down during print, tape transfer

15/32

FIG. 16

charging shaft

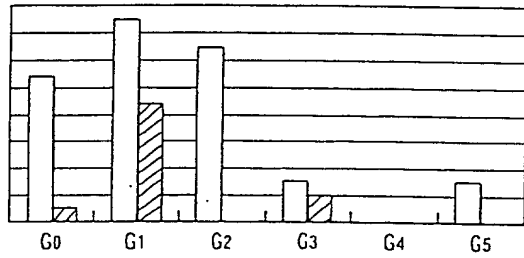
~~帯電シフト~~ : SUM

~~サプレッションシフト~~ : SUM

refresher shaft

BKG斑点 spot

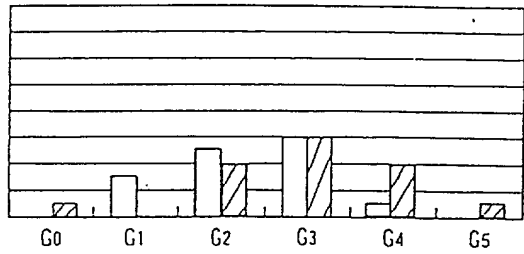
occurrence ratio
発生率



independent spots
独立点
continuous spots
連続点

IMG斑点 spot

occurrence ratio
発生率

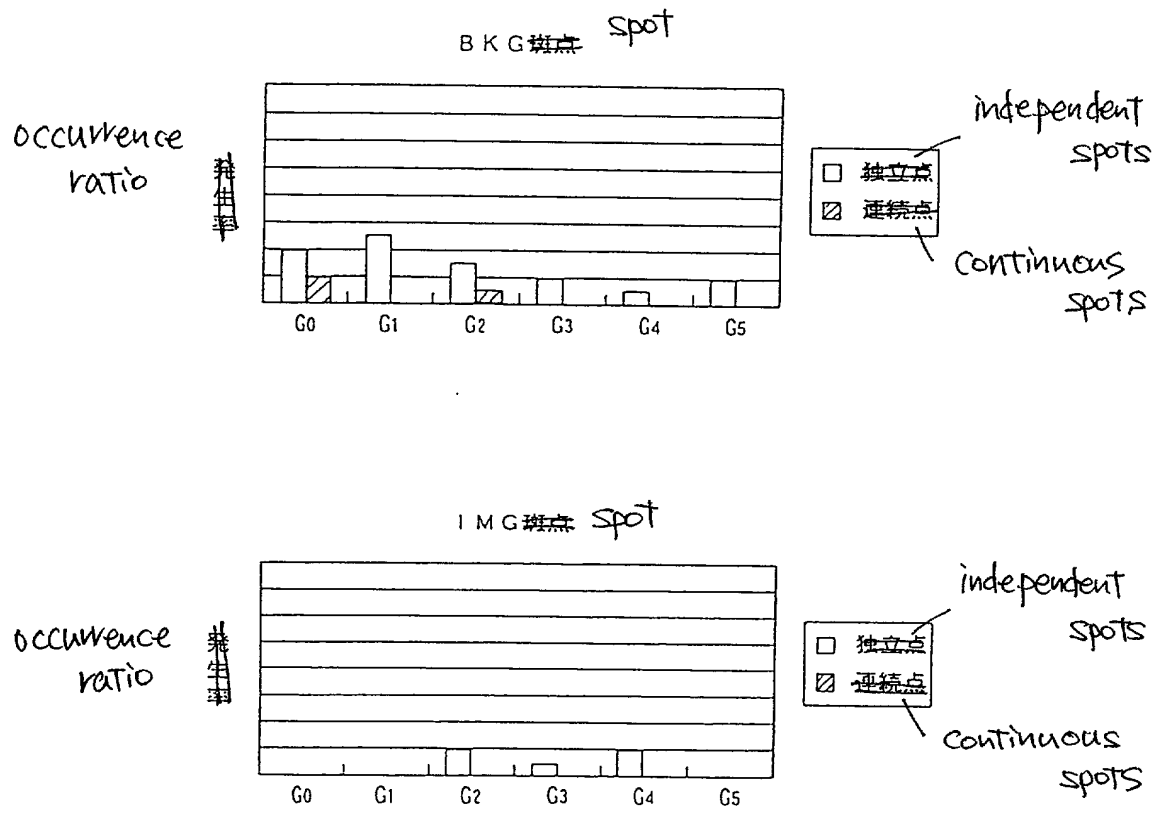


independent spots
独立点
continuous spots
連続点

16/32

FIG. 17

charging shaft
~~帯電シャフト~~ : SUS303Cu
~~リフレッシュシャフト~~ : SUM
refresher shaft



17/32

Fig. 18 charging shaft
~~帯電シャフト~~: SUS303Cu
~~サフレスシャフト~~: SUS303Cu
 refresher shaft

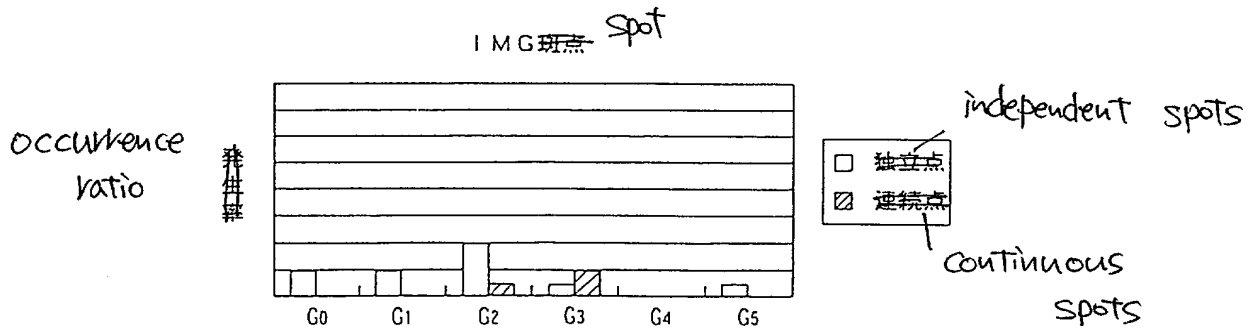
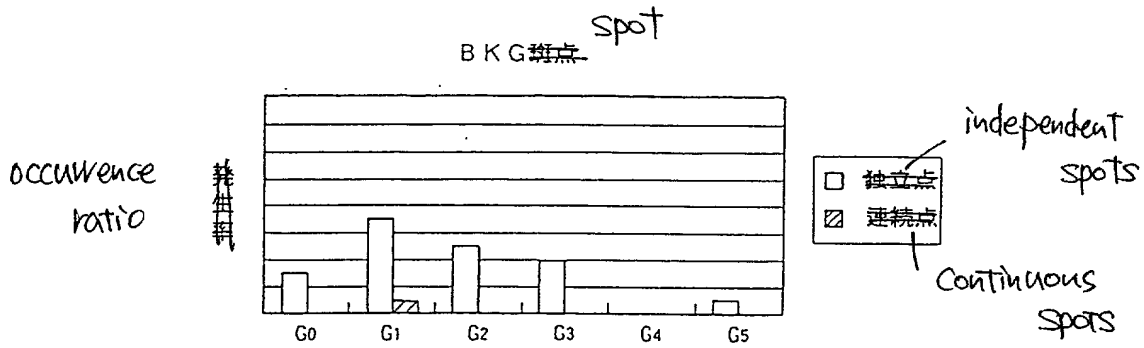
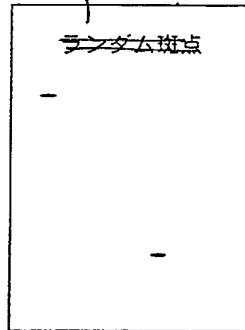


FIG. 19

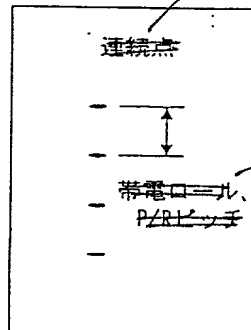
spot classification
by phenomenon

斑点現象別分類

random spots



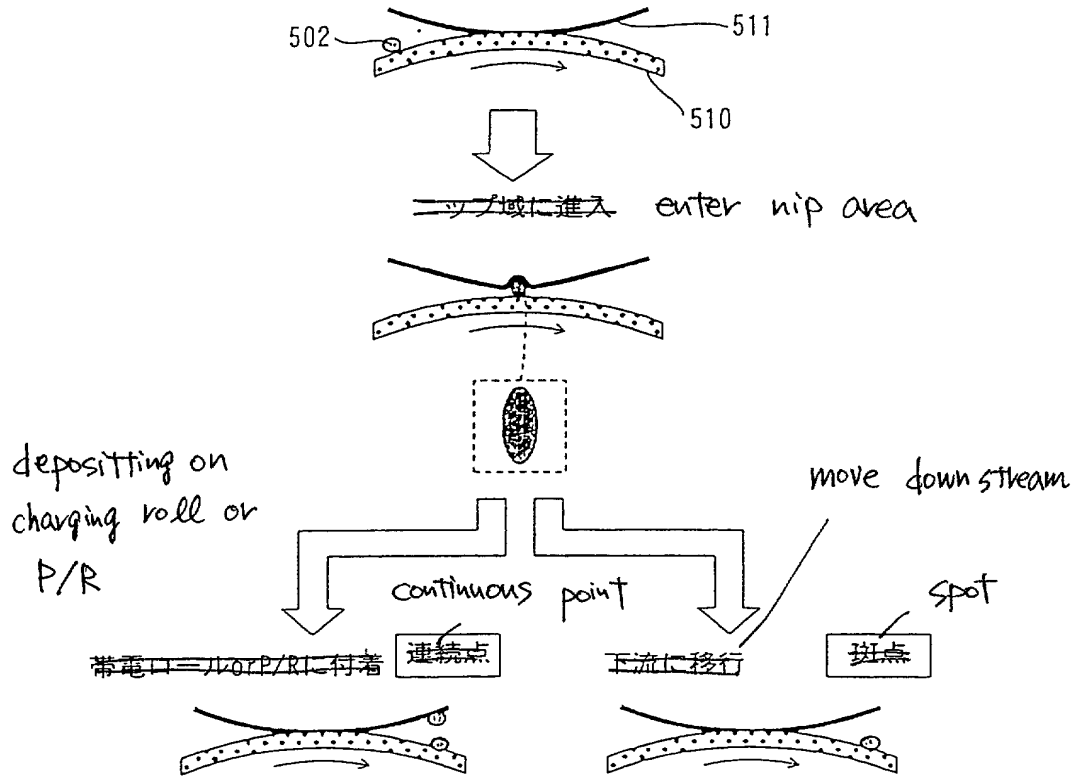
Continuous points



charging roll,
P/R pitch

19/32

FIG. 20



20/32

~~図 21~~ Fig. 21(a)

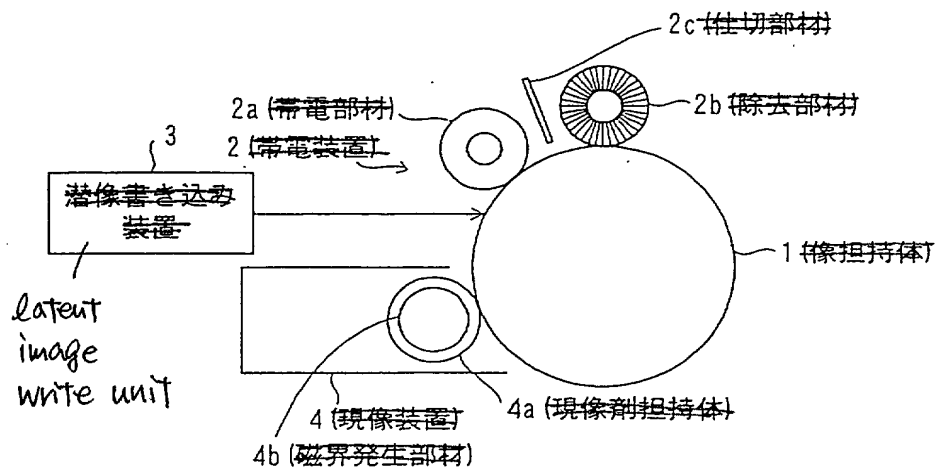
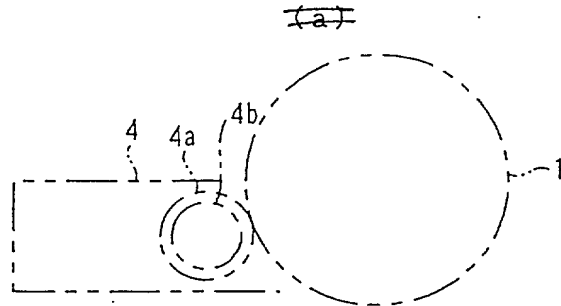


FIG. 21(b)

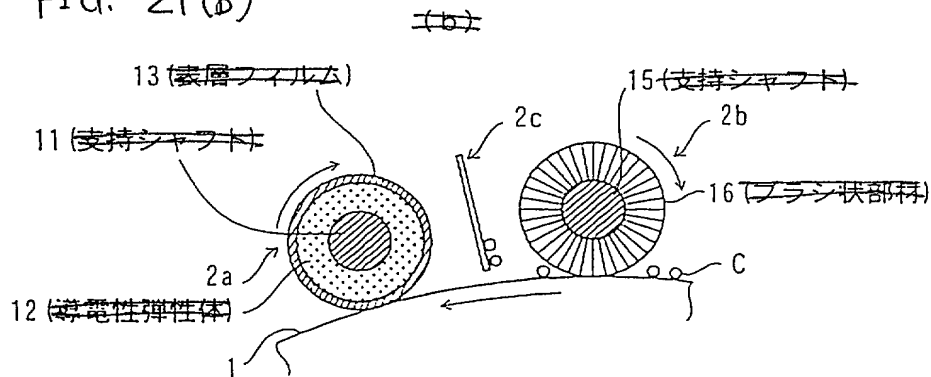


FIG. 22 (a)

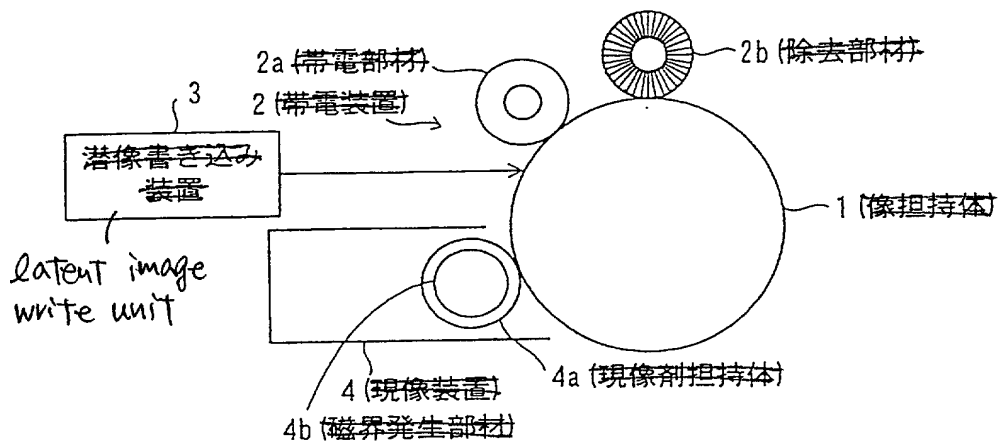
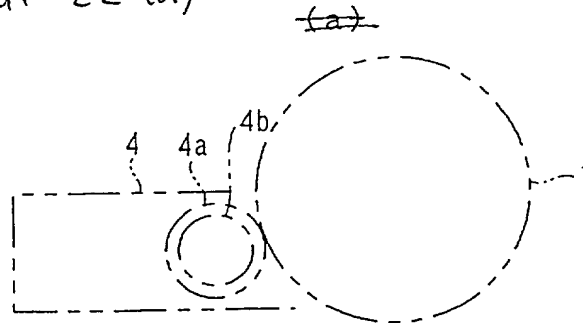
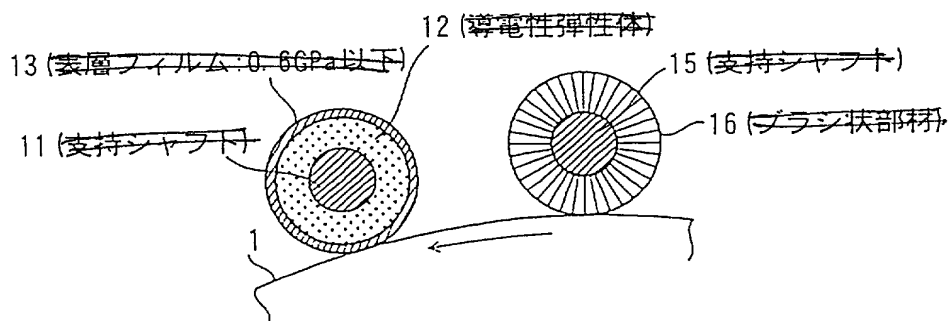


FIG. 22 (b)

(b)



23/32

2007-07-12

FIG. 24

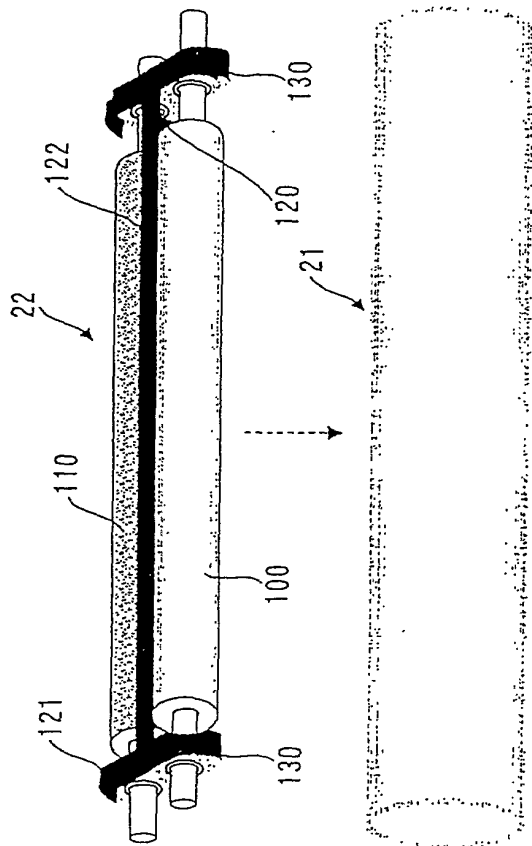


FIG. 25(a)

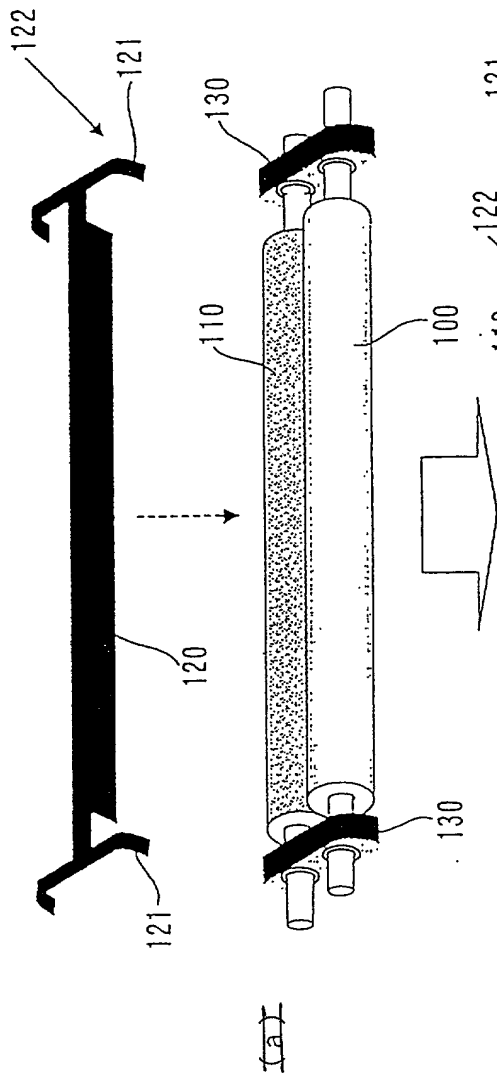
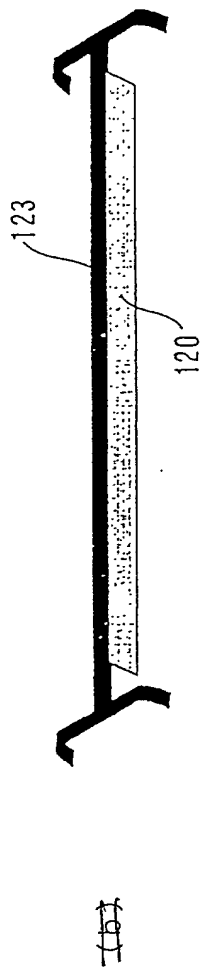


FIG. 25(b)



25/32

FIG. 26(a)

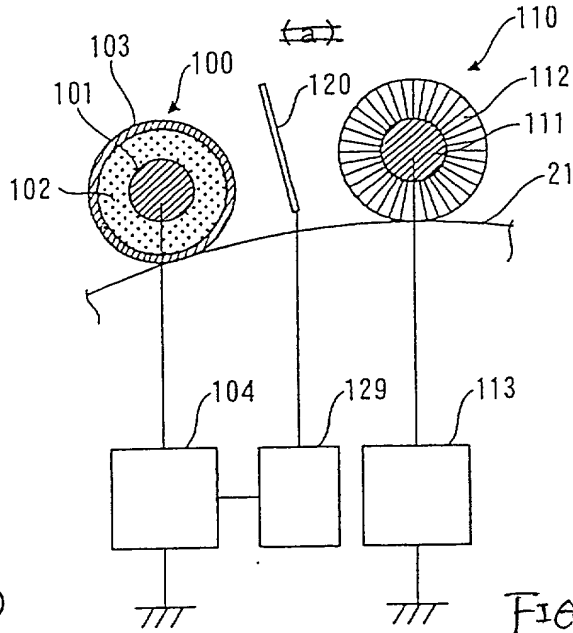


FIG. 26(b)

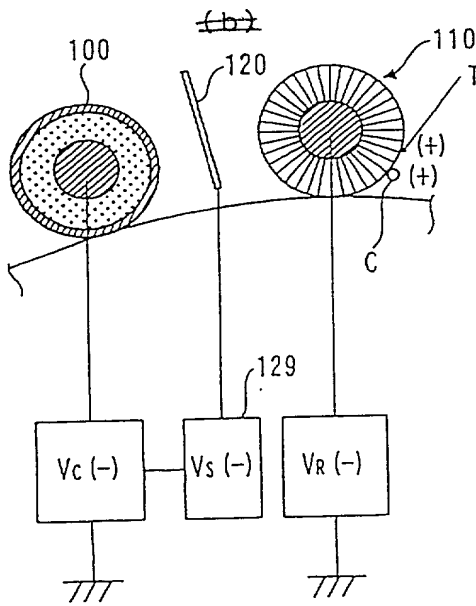
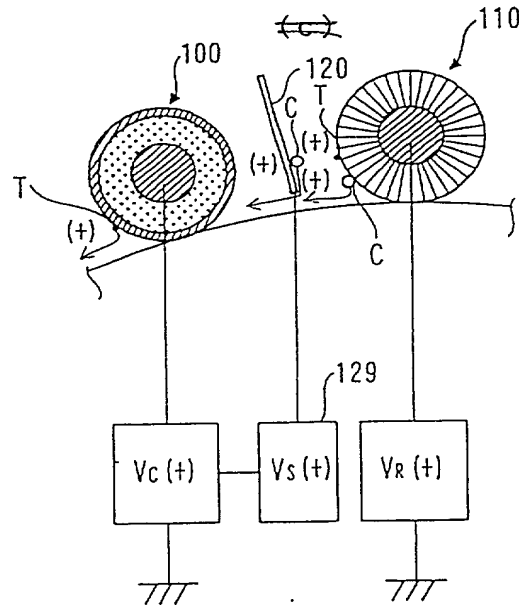


FIG. 26(c)



26/32

FIG. 27(a)

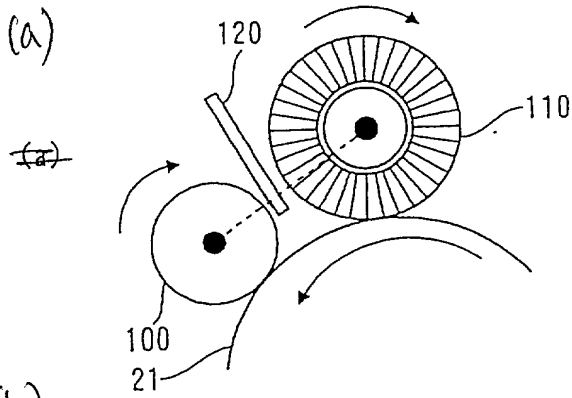


FIG. 27(b)

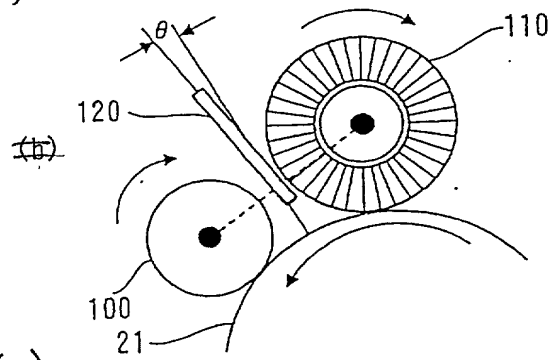
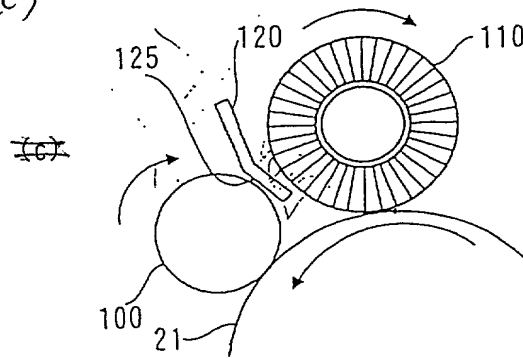


FIG. 27(c)



27/32

FIG. 28(a)

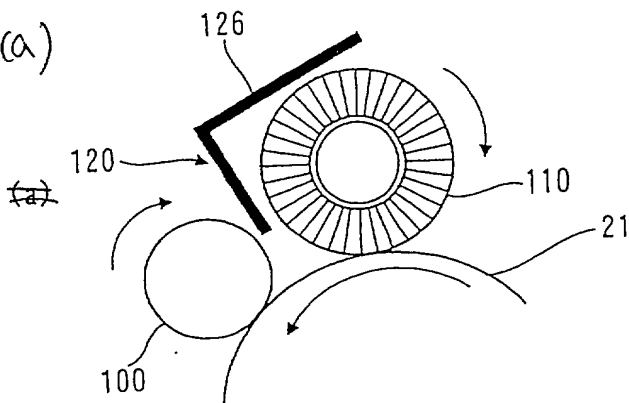


FIG. 28(b)

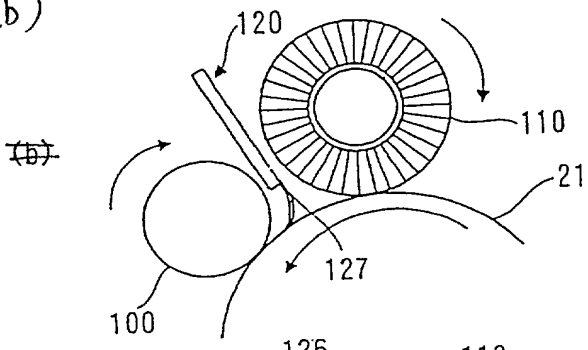
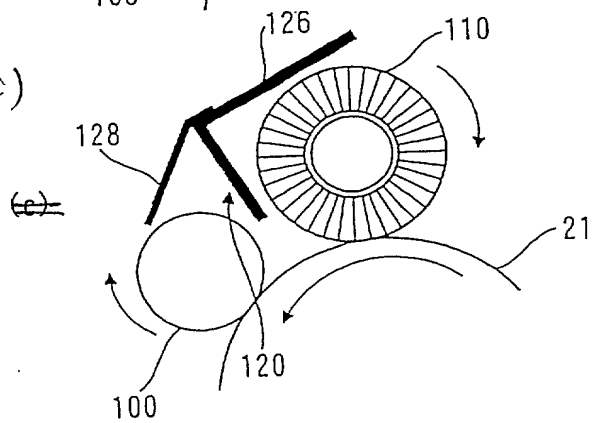


FIG. 28(c)



28/32

FIG. 29(a)

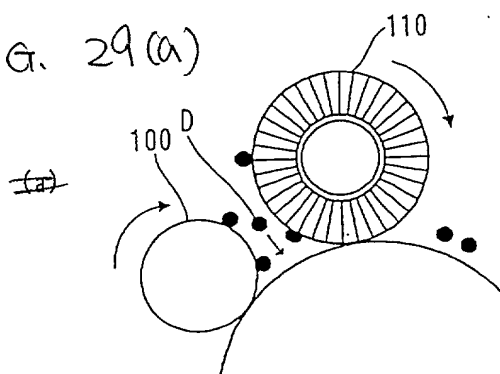


FIG. 29(b)

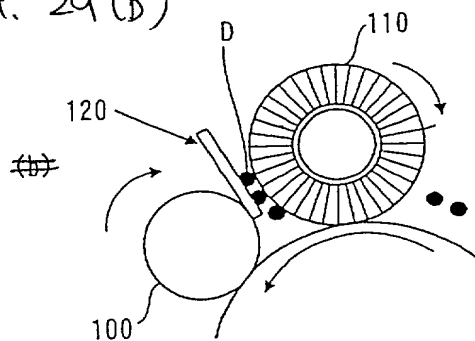
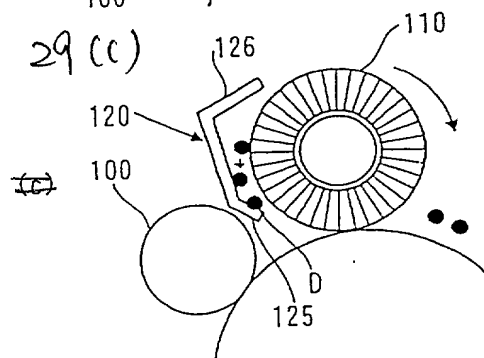
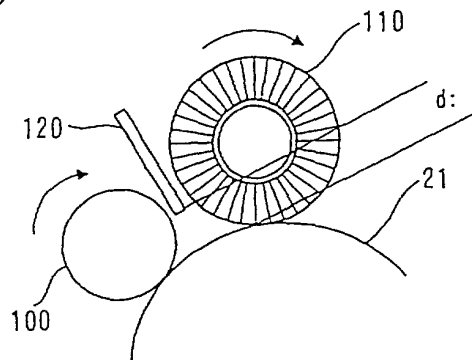


FIG. 29(c)



29/32

FIG. 30



d (mm)	斑点発生 有無
0 (接触)	○
0.5	○
1.0	○
2.0	○
3.0	○
4.0	×

Occurrence of spot

contact

FIG. 31

30/32

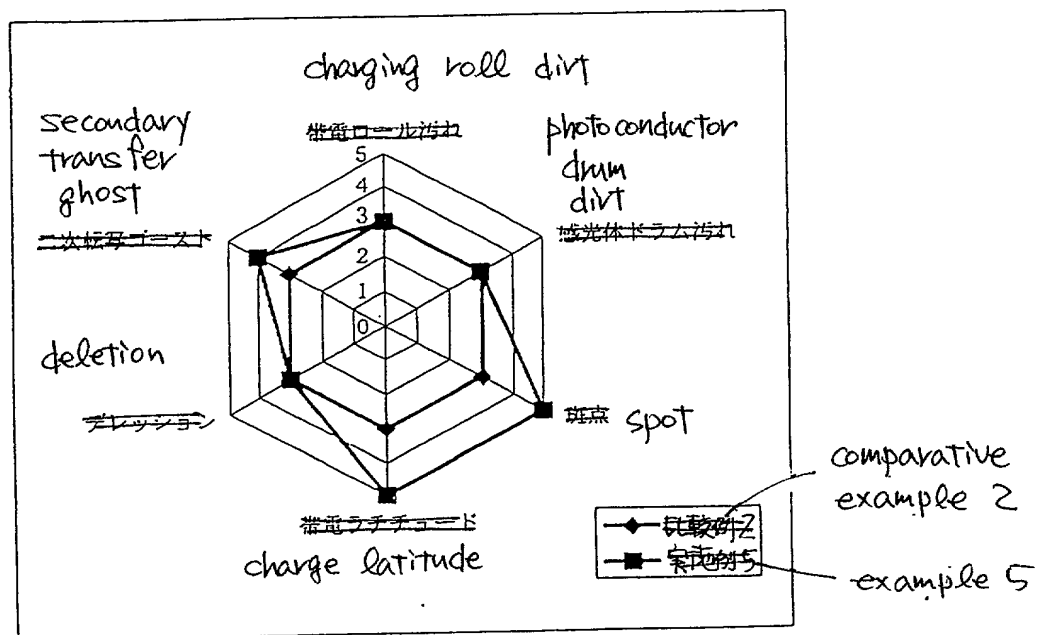


FIG. 32

31/32

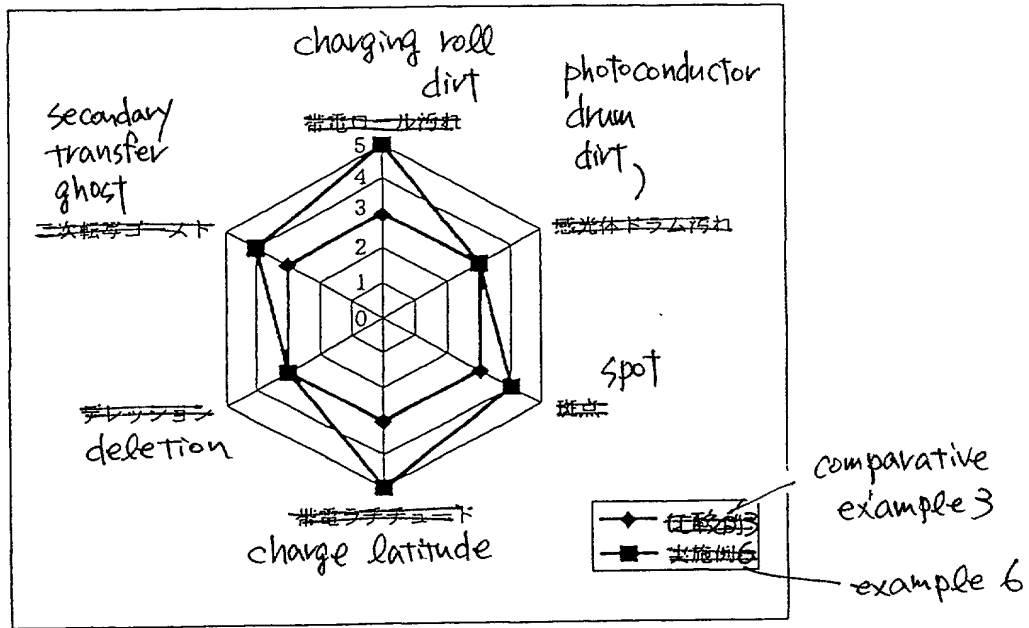


FIG.33

